

FIG

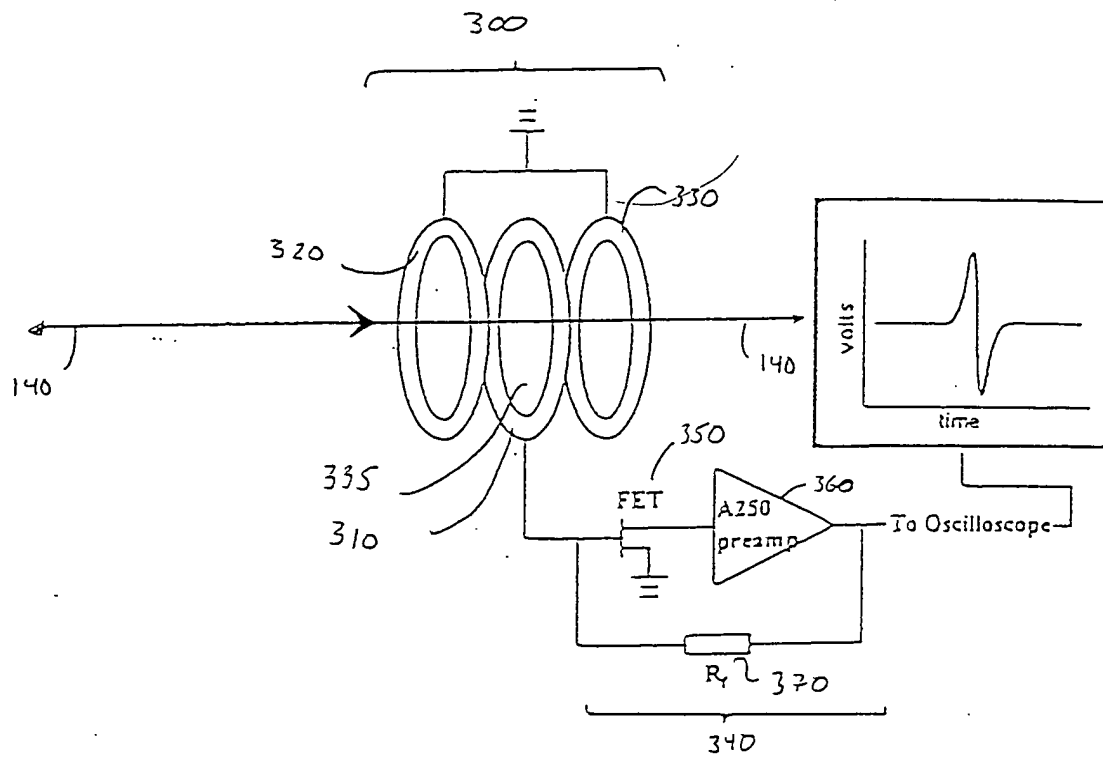


FIG. 2A

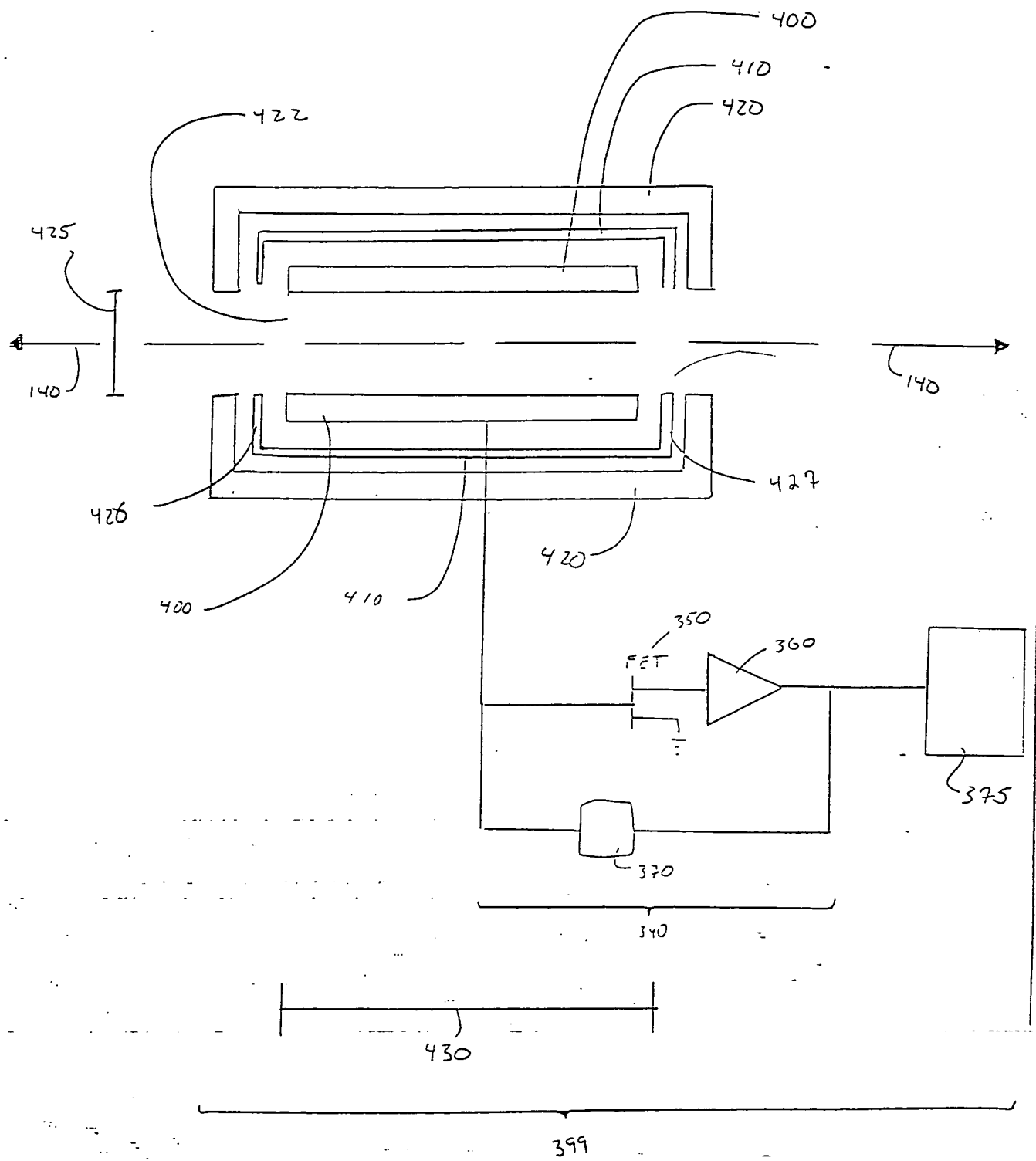


FIG. 2B

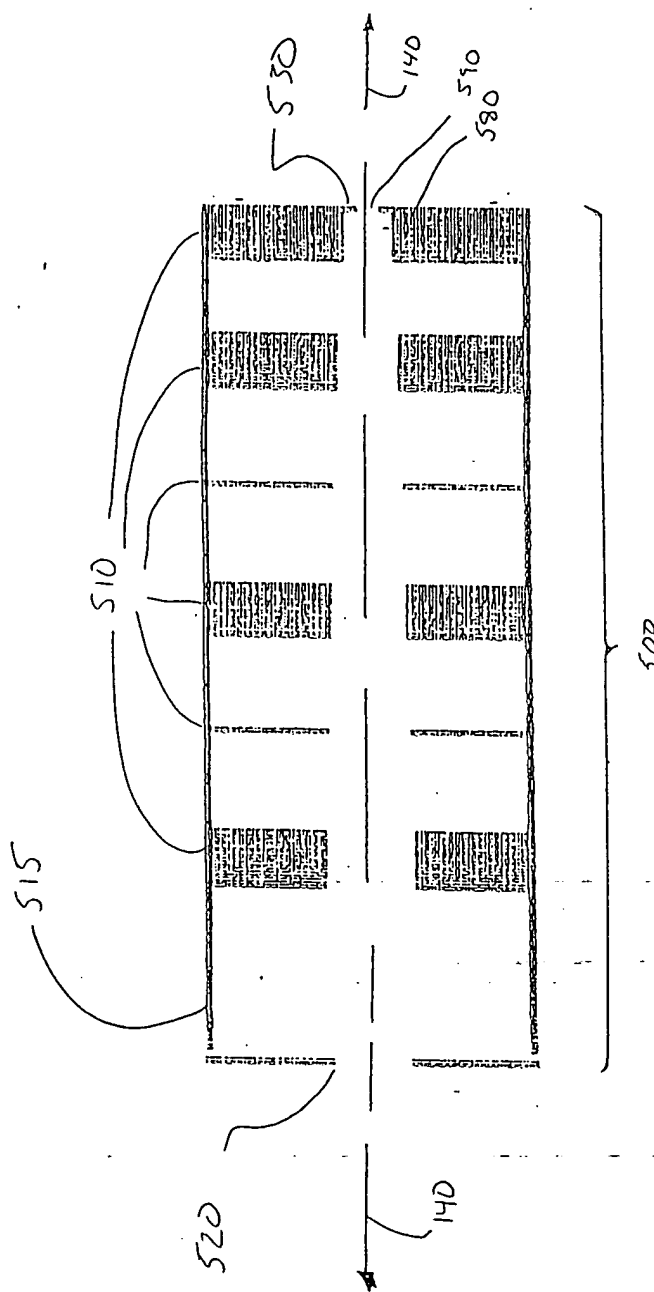


FIG. 3A

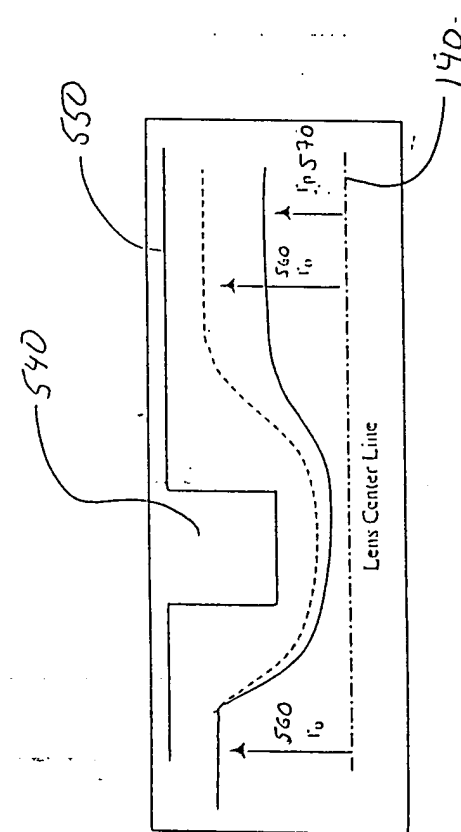


FIG. 3B

Figure 4A

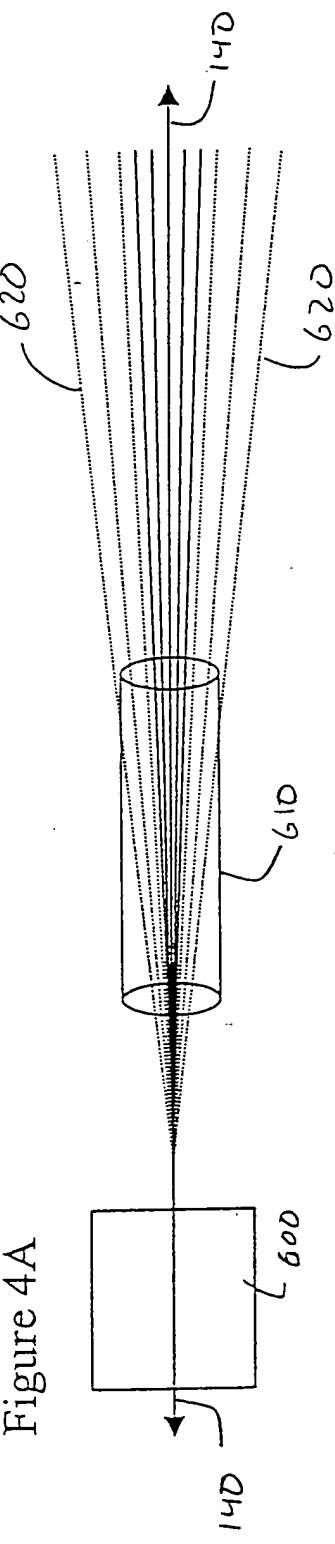
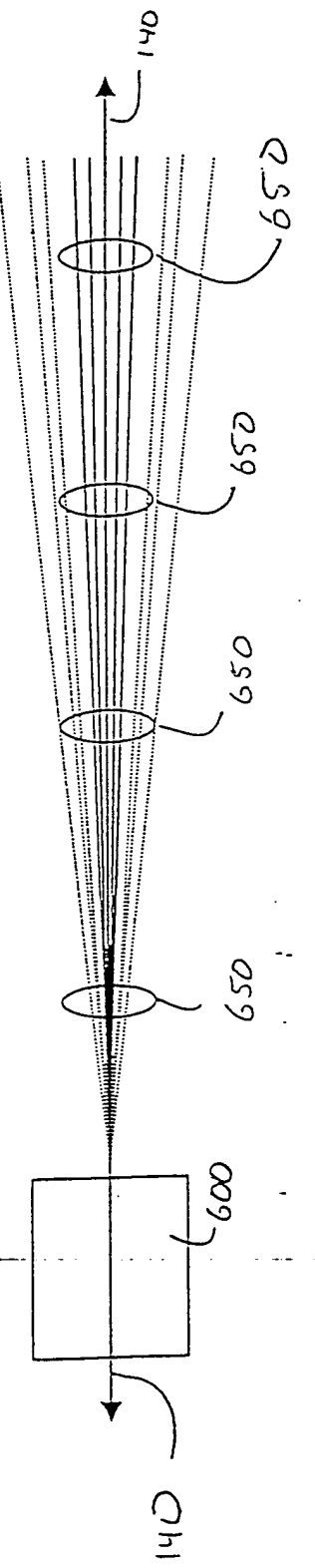
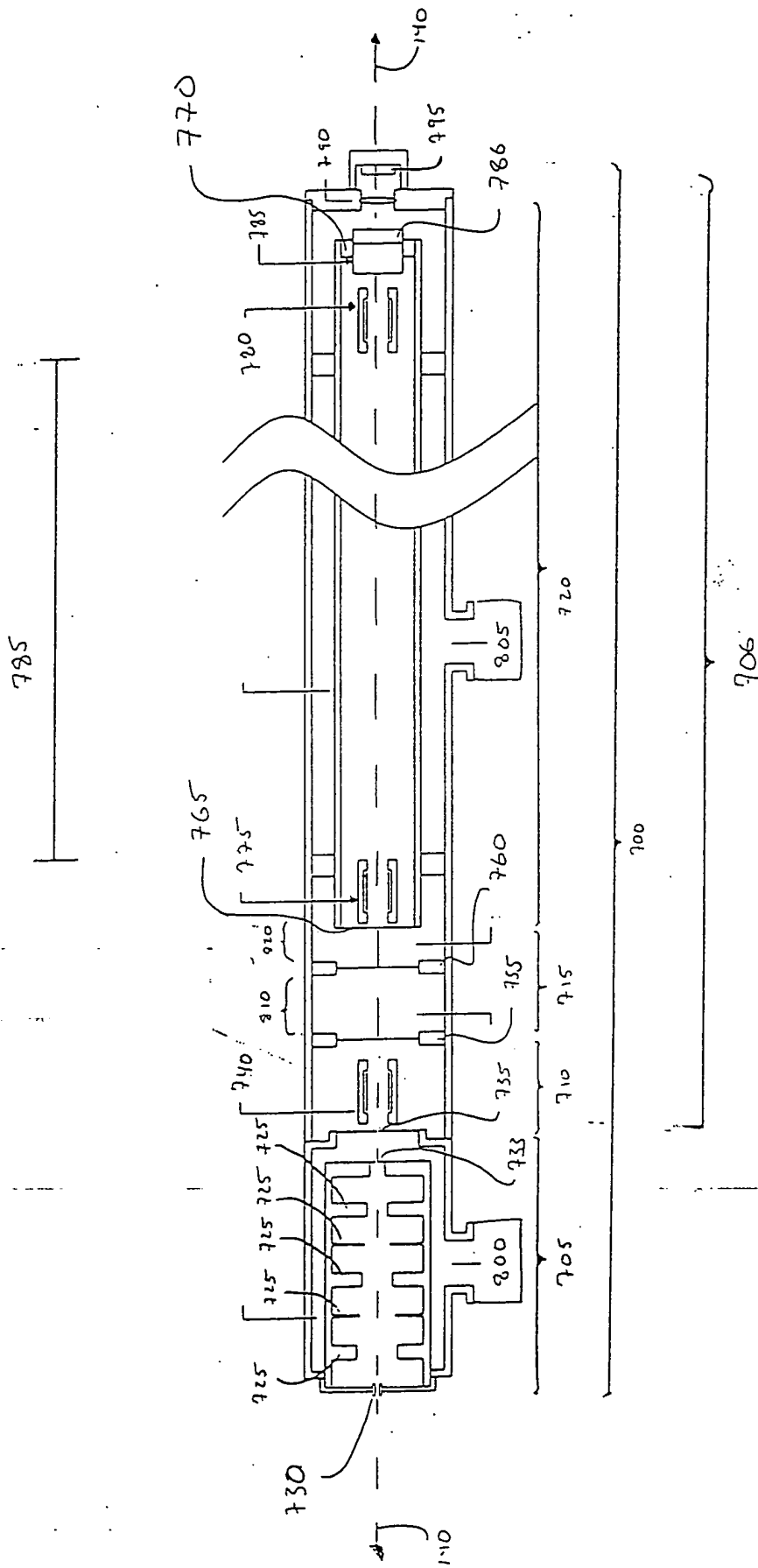


Figure 4B





5
FIG.

FIG. 6A

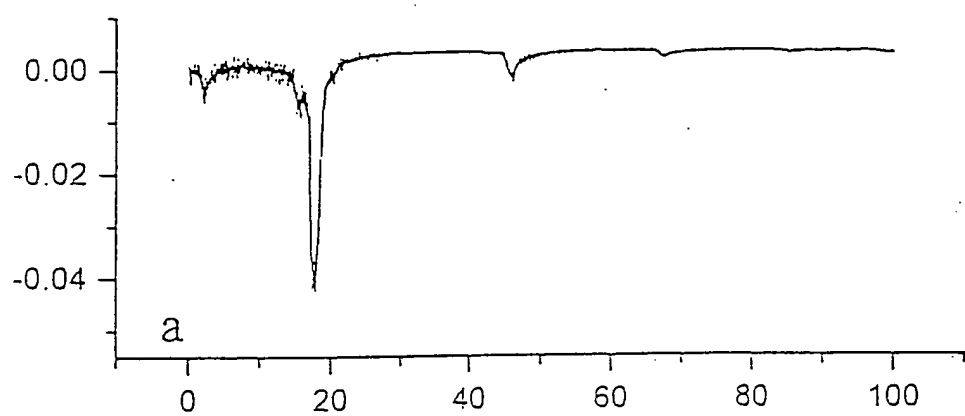


FIG. 6B

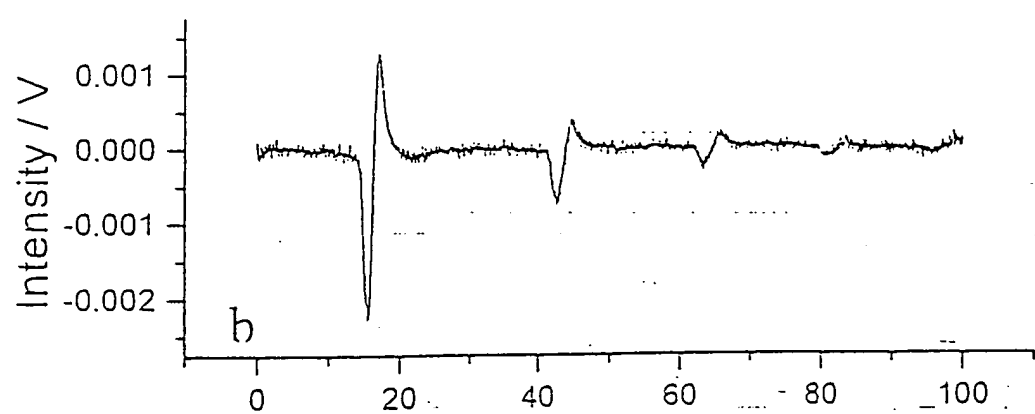


FIG. 7A

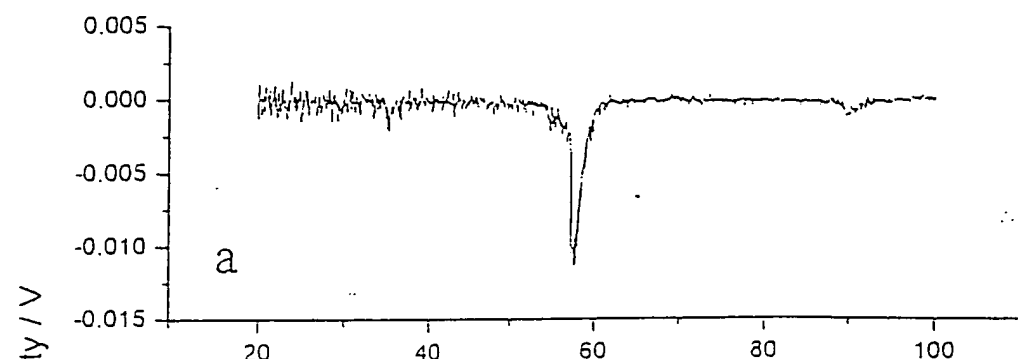


FIG. 7B

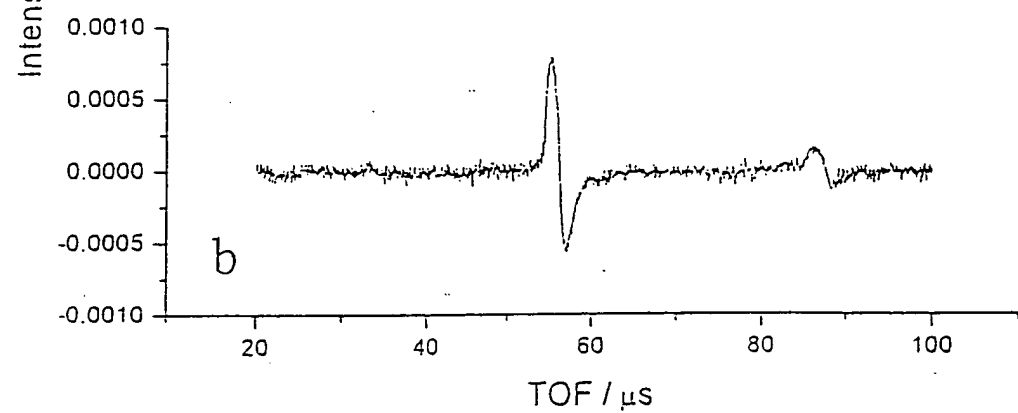


Fig. 8A

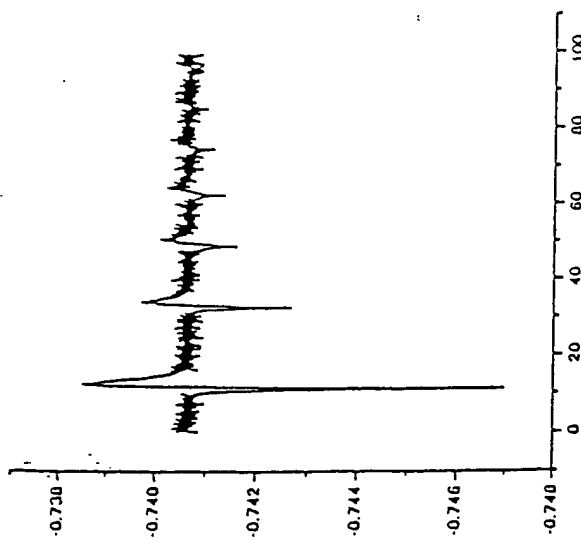


Fig. 8C

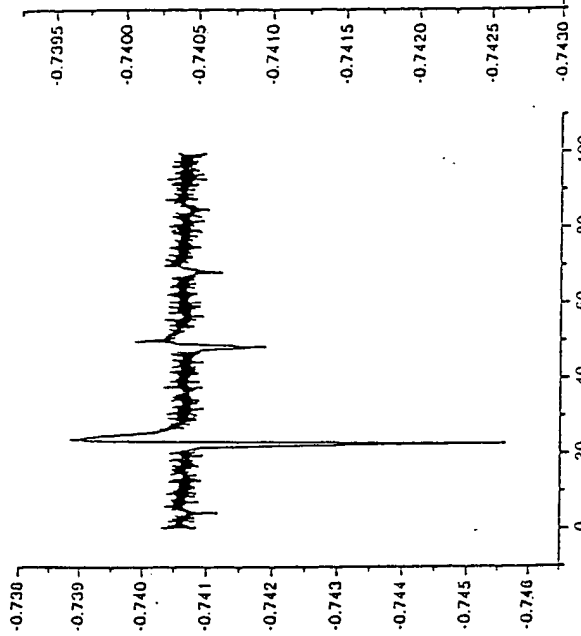


Fig. 8E

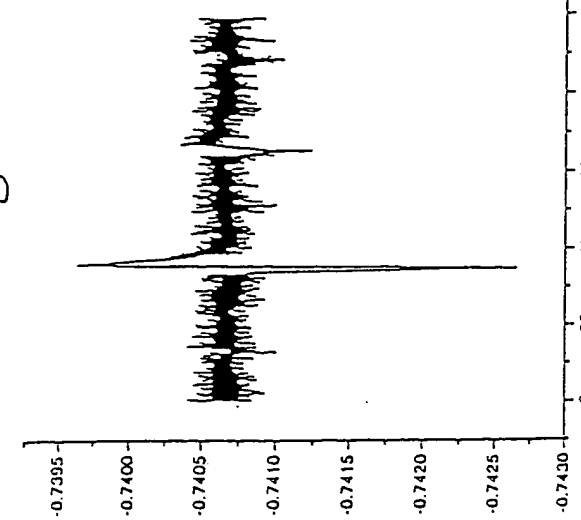


Fig. 8B

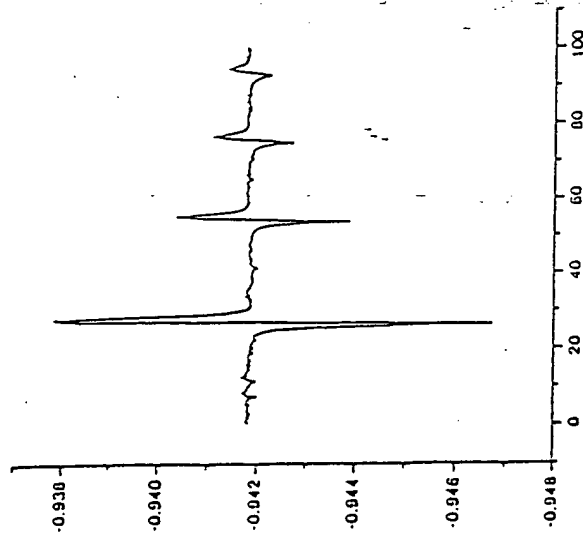


Fig. 8D

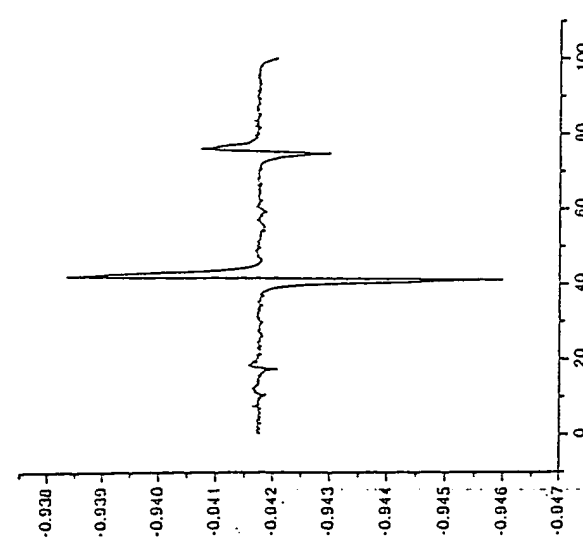
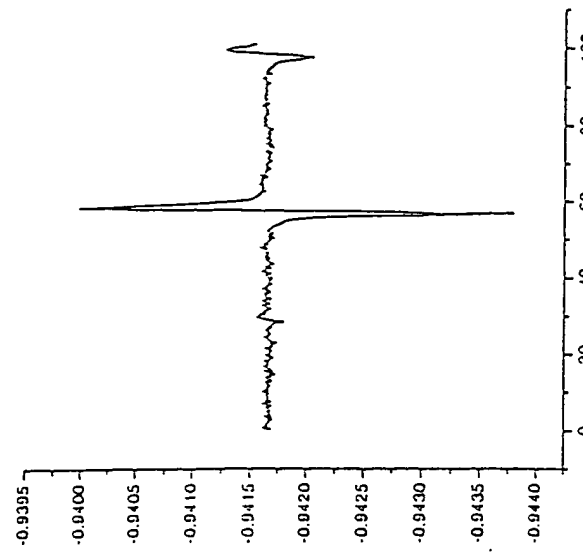


Fig. 8F



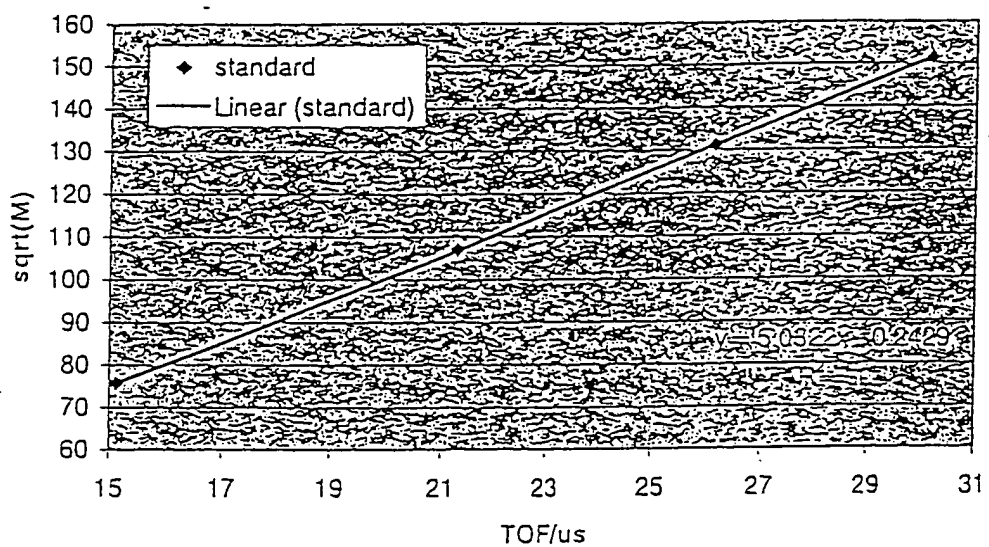


FIG. 9

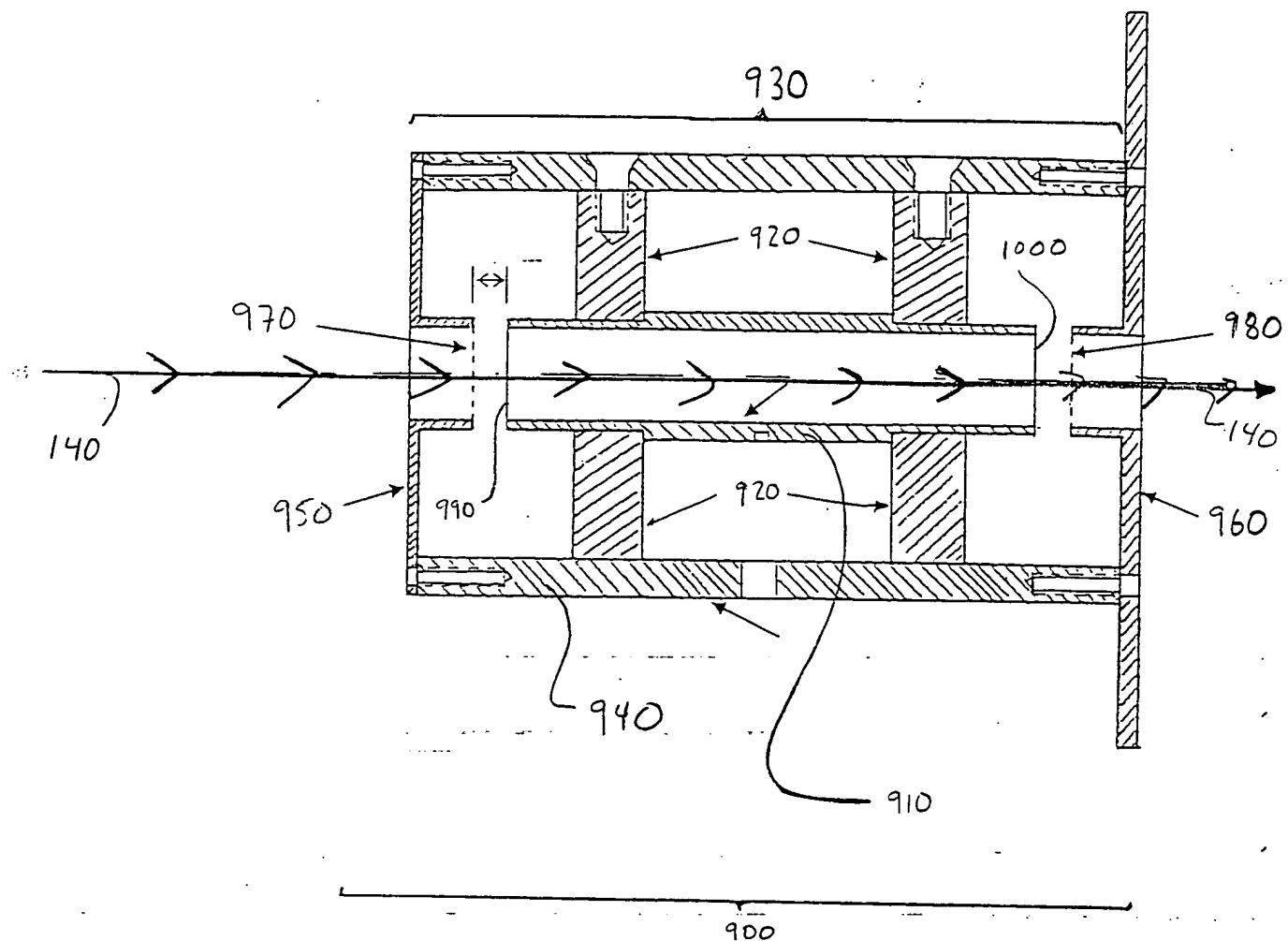


FIG. 10

FIG. 11A

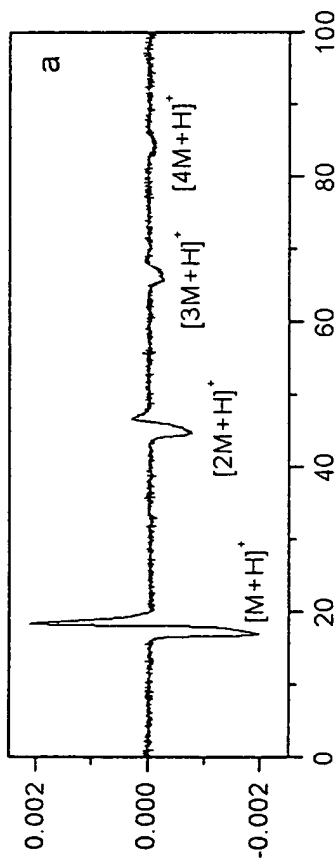


FIG. 11B

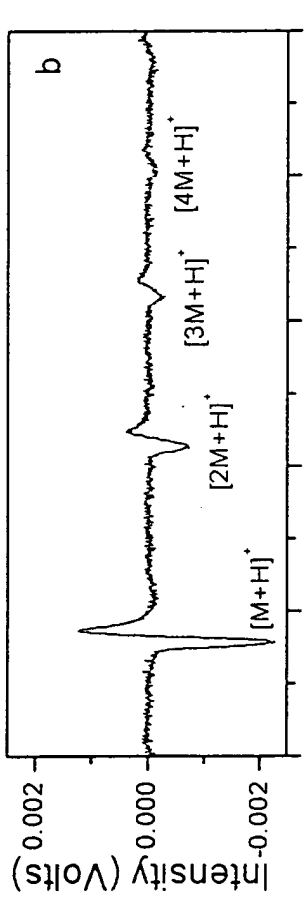
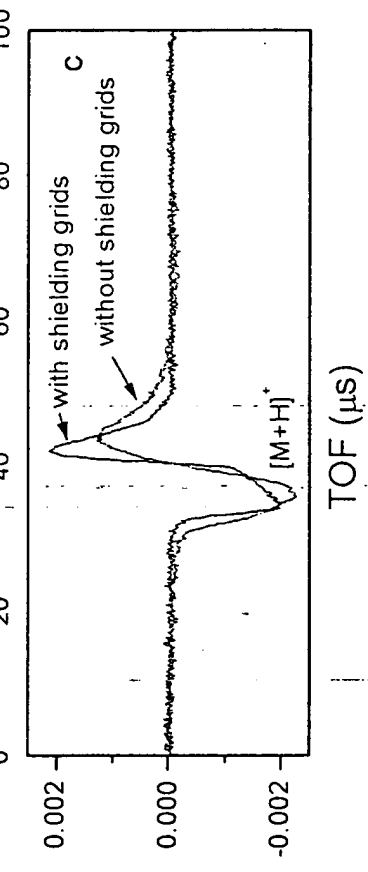


FIG. 11C



MALDI-TOF spectra of insulin

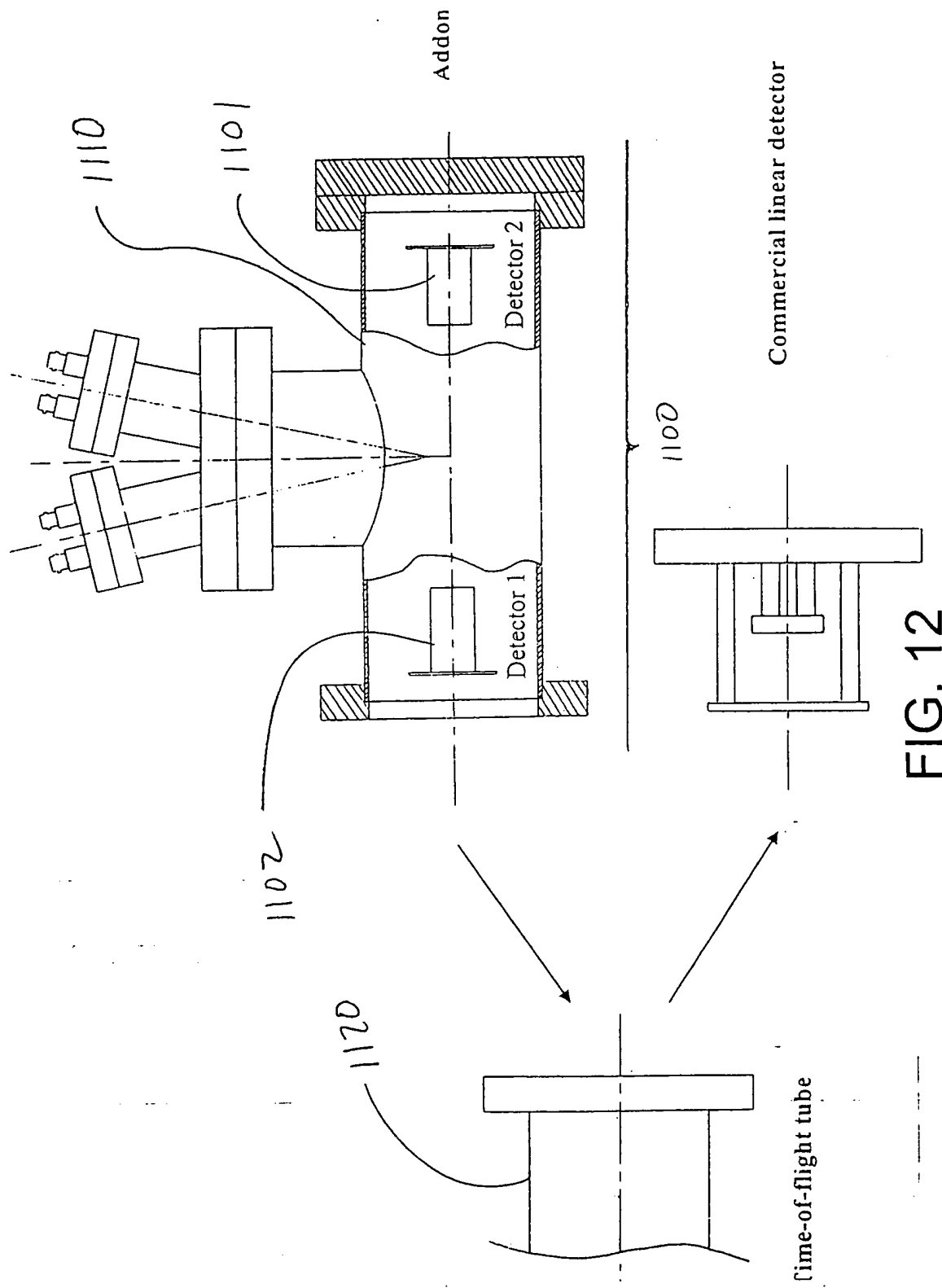


FIG. 12